

مطالعه مخزن گازی با استفاده از وارون سازی داده های لرزه ای شبه سه بعدی در

میدان نفتی فردوسی

معراج امامی^۱، دکتر مجید نبی بیدهندی^۲ و دکتر ابوالقاسم امامزاده^۳

چکیده

انعکاس امواج لرزه ای از لایه های زیرزمینی پتانسیل تجمع هیدروکربن را نشان می دهد. هنگامیکه امواج منعکس می شوند، دامنه آنها تغییر می کند که این تغییر اطلاعات مهمی را درباره مواد زیر لایه ها نشان می دهد. اطلاعات دامنه بازتاب لرزه ای برای تعیین امپدانسهای نسبی مواد دو طرف مرز لایه وارون می شوند. همبسته کردن این خصوصیات به دست آمده از روش‌های لرزه ای با مقادیر محاسبه شده در چاه، مفسران را قادر می سازد که اطلاعات چاه را در کل حجم لرزه ای گسترش دهند. این فرآیند، خلاء های علمی ما را در مورد ویژگیهای سازند بین چاهها پر کرده و کاهش ریسک در عملیاتهای اکتشاف، توسعه و تولید را در میادین به همراه دارد. در این مطالعه، با انجام عملیات وارون سازی روی داده های لرزه ای شبه سه بعدی افقهای گازی کنگان و دلان بالایی و با استفاده از اطلاعات نگارهای اشعه گاما، چگالی و موج P در میدان فردوسی، ابتدا به مدل امپدانس صوتی و با توجه به آن به مدلهای تخلخل، نسبت پواسون و نسبت سرعت موج P به موج S دست می یابیم.

کلید واژه ها: وارون سازی، امپدانس صوتی، همبستگی، استخراج موجک، پوش حداقل مربعات

Gas reservoir study from inversion of pseudo 3D seismic data on Ferdowsi oil field

غُلْغَلْ عَكْبَعْ كَفْلَعْ غَفَقَّ كَعْلَعْ فَعَلْعَعْ فَعَلْلَعْ فَعَلْلَعْ

Abstract

لغ ع کم قفقف لاغه ع قع ع لامع ما کللاخ لغ نع ذ فک لاف ع گـ قـ قـ مـ عـ قـ غـ لـ غـ
لـ هـ فـ وـ گـ لـ اـ لـ عـ فـ غـ خـ مـ دـ مـ عـ قـ مـ عـ کـ عـ قـ عـ لـ اـ لـ عـ وـ گـ لـ اـ عـ هـ قـ قـ کـ عـ مـ گـ آـ
لـ اـ عـ فـ لـ اـ لـ عـ کـ گـ هـ کـ عـ قـ فـ مـ عـ لـ اـ لـ کـ کـ فـ عـ غـ نـ اـ کـ مـ غـ کـ عـ غـ
غـ غـ مـ گـ دـ خـ لـ اـ لـ عـ رـ کـ فـ کـ مـ عـ لـ غـ کـ عـ قـ فـ مـ عـ لـ اـ لـ کـ خـ فـ کـ مـ عـ قـ عـ قـ عـ
غـ عـ عـ لـ اـ لـ عـ کـ فـ خـ مـ عـ گـ لـ اـ لـ عـ کـ گـ هـ کـ عـ قـ فـ عـ گـ کـ فـ مـ عـ قـ عـ

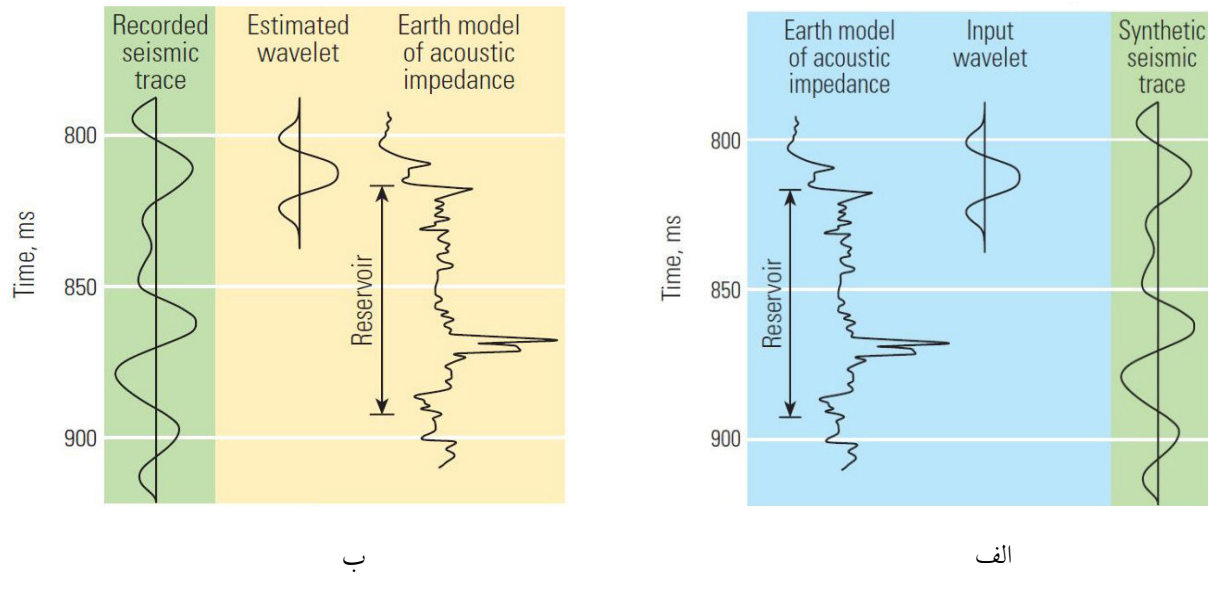
- تعیین تراوایی و گسترش مخزن با استفاده از داده های فشار گذار
- تعیین لیتولوژیهای لایه و اشباع سیالات با استفاده از نمودارگیری چندگانه(مرزوکی، ۲۰۰۰)
- نقشه کردن سیالات با استفاده از اندازه گیریهای الکترومغناطیسی عرضی چاه
- یکپارچه سازی اندازه گیریهای الکترومغناطیسی ولزه ای برای بهبود مرزبندی رسوبات نمکی زیرزمینی

مقدمه

وارون سازی لرزه ای در بیان ساده، وارون سازی لرزه ای فرآیند تعیین خصوصیات فیزیکی سنگ و سیالی است که می تواند رکورد لرزه ای موجود را ایجاد کند. وارون سازی، عکس عمل مدلسازی پیشرو است. به عبارت دیگر در این عمل سعی بر این است که با توجه به خروجی، ورودی تعیین شود. در مدلسازی، مدلی از ویژگیهای سازند گرفته می شود (مثلاً امپدانس صوتی حاصل از نگارهای چاه). سپس این مدل با یک موجک یا پالس لرزه ای ترکیب شده و خروجی به صورت یک تریس لرزه ای مصنوعی است. اما وارون سازی با تریسی از داده های لرزه ای ضبط شده آغاز می شود، تاثیر موجک تخمینی حذف شده و نتیجه به صورت امپدانس صوتی در هر نمونه زمانی است(شکل ۱).

وارون سازی در گستره ای از مقیاسها و سطوح مختلف بکار گرفته می شود:

- محاسبه پروفیلهای تهاجم سیالات درون چاهی با استفاده از نمودارگیری القایی
- ارزیابی کیفیت سیمان پشت جداری با استفاده از نگارهای فوق صوتی
- تفسیر حجمهای گاز، نفت و آب با استفاده از نگارهای تولیدی(انگلمارک، ۲۰۰۵)



شکل ۱. مدلسازی و وارون سازی. در مدل سازی (شکل الف) مدلی از ویژگیهای سازند گرفته می شود- در این مورد امپدانس صوتی حاصل از نگارهای چاه- با یک موجک یا پالس لرزه ای ترکیب شده و خروجی بصورت یک تریس لرزه ای مصنوعی است. وارون سازی (شکل ب) با یک تریس داده های لرزه ای ضبط شده شروع می شود، تاثیر موجک تخمینی را حذف کرده و نتیجه بصورت مقادیر امپدانس صوتی در هر نمونه زمانی است.

کیلومتر طول و عرض دارد. این راه حل در مراحل پردازش داده ها نظیر مهاجرت و برانبارش بکار گرفته می شود و در نهایت یک عکس لرزه ای که تفهیم آن برای اکثر خوانندگان ممکن است پدید می آید. مفسران لرزه ای از این عکس برای تعیین شکل و عمق رفلکتورهای زیرسطحی استفاده می کنند (استوارت ، ۱۹۹۱ – همپسون و راسل، ۱۹۹۲). در نوع دوم وارون سازی، یعنی وارون سازی دامنه از زمان رسید و دامنه امواج لرزه ای بازتاب شده در هر نقطه بازتاب استفاده می شود و نتیجه امپدانسهای نسبی سازندهایی است که بوسیله رفلکتورهای عکسبرداری شده مرزبندی

متخصصان لرزه ای اکتشاف و تولید از انواع مختلف روشهای وارون سازی برای حل مسائل مختلف استفاده می کنند. دو نوع عمده وارون سازی عبارتند از وارون سازی سرعت و وارون سازی دامنه.

نوع اول وارون سازی، وارون سازی سرعت که گاهًا به عنوان وارون سازی زمان سیر نیز شناخته شده است برای عکسبرداری عمقی مورد استفاده قرار می گیرد. با استفاده از تریسهای لرزه ای در محلهایی با فاصله گستردۀ یک مدل سرعت- عمق از زمین بدست می آید که زمانهای رسید ضبط شده امواج لرزه ای را پوشش می دهد و چندین کیلومتر عمق و صدھا

شده است (همپسون و همکاران، ۲۰۰۵).

میدان فردوسی

میدان فردوسی در بخش مرکزی خلیج فارس تقریباً در ۱۹۰ کیلومتری جنوب شرقی بوشهر و ۹۰ کیلومتری مرز دریایی ایران واقع شده است. این میدان در سال ۱۹۶۴ کشف شد که یکی از میدادین نفت سنگین ایران است. بر اساس مطالعات زمین شناسی و لرزه نگاری مساحت این میدان 20×13 کیلومتر مربع تعیین شده است. اولین چاه این میدان تا عمق ۲۳۱۶ متر و در بالای رسوبات ژوراسیک در سپتامبر ۱۹۶۵ حفر و در ژانویه ۱۹۶۶ پلاگ شد. این امر اولین آزمایش روی این میدان بود که توسط ژئوفیزیستها بعنوان میدانی عظیم تخمین زده شده بود. اشباع نفت سنگین قابل توجهی در بخش کرتاسه وجود داشت اما به دلیل کمبود انرژی مخزن رسیدن به جریان اقتصادی حتی با وجود عملیاتهای تحریک چاه نظیر اسیدکاری ممکن نبود. دومین چاه تا عمق ۴۰۷۵ متری در اواخر ژانویه ۱۹۶۶ حفر و در مارچ ۱۹۶۷ پلاگ شد. این چاه آزمایش دوم روی میدان فردوسی بود که تا عمق کافی برای دستیابی به سازندهای پرپر مین حفاری شد و نتایج آزمایش اول را مبنی بر وجود ساختمانی عظیم و همچنین وجود مخزن بزرگ نفت سنگین کرتاسه پائینی در چاه ۱ را تأیید کرد. به علاوه مقداری نفت سنگین در سازند سورمه بالایی و گاز ترش در گروه دهرم وجود داشت.

بدلیل اینکه هدف مورد مطالعه، مخزن گازی موجود در میدان است و چاه ۱ فقط نفتی است، پس تنها از اطلاعات چاه ۲ که نفتی و گازی است استفاده می کنیم. افقهای گازی چاه ۲، کنگان و دلان بالایی هستند (جدول ۱).

جدول ۱. افقهای گازی موجود در چاه ۲

Horizon name	Depth (m)	TWT (ms)
Kangan	3117	1699.47
U-Dalan	3328	1754.95

عملیات

برای انجام وارون سازی، داده های ورودی عبارتند از:

- یک یا چند نگار چاه (چگالی، اشعه گاما و موج P)

• یک حجم لرزه ای دو یا سه بعدی

• مجموعه ای از افکها که برای راهنمایی مدل اولیه از آنها استفاده می شود.

جريان کاری معمول برای وارون سازی شامل مراحل زیر است:

۱. شروع نرم افزار **Geoview**

۲. بارگذاری چاهها در **Geoview**

۳. شروع نرم افزار **Strata**

۴. بارگذاری داده های لرزه ای در **Strata**

۵. بارگذاری افق ها (در صورت وجود) یا

برداشت آنها

۶. همیسته کردن هر چاه با حجم لرزه ای به منظور بهینه سازی تبدیل زمان به عمق

۷. ساخت مدل اولیه

۸. اجرای آنالیز وارون سازی برای تعیین پارامترهای آن

۹. اجرای وارون سازی روی حجم لرزه ای و آنالیز نتایج

در مراحل ۱و۲، بانک داده چاه ساخته شده و آن را در حجم لرزه ای ساخته شده طی مراحل ۳ و ۴

بارگذاری می کنیم. سپس افکهای کنگان و دلان بالایی را برداشت می کنیم. پس از انجام این کار، نوبت به

عملیات همبستگی است. همبستگی ابتدایی ۰.۲۹۹ است(شکل ۲). در این شکل، تریس آبی، تریس مصنوعی

محاسبه شده از نگارهای چاه (چگالی، اشعه گاما و موج P) و موجک پیش فرض است. تریس قرمز، تریس

میانگین اطراف چاه و تریس سیاه، تریس واقعی است. برای افزایش درصد همبستگی، ابتدا موجکی را به

صورت آماری استخراج کرده که نتیجه این امر، همبستگی ۰.۳۳۸ است(شکل ۳). سپس با استفاده از

اطلاعات چاه ۲ موجکی را استخراج می کنیم که این عمل همبستگی ۰.۳۵ را به همرا دارد(شکل ۴). در

نهایت آنالیز همبستگی، عدد ۰.۴۲۵ را نشان می دهد(شکل ۵).

پس از انجام عملیات همبستگی، نرم افزار مدلی

را به عنوان مدل اولیه مانند شکل ۶ می سازد.

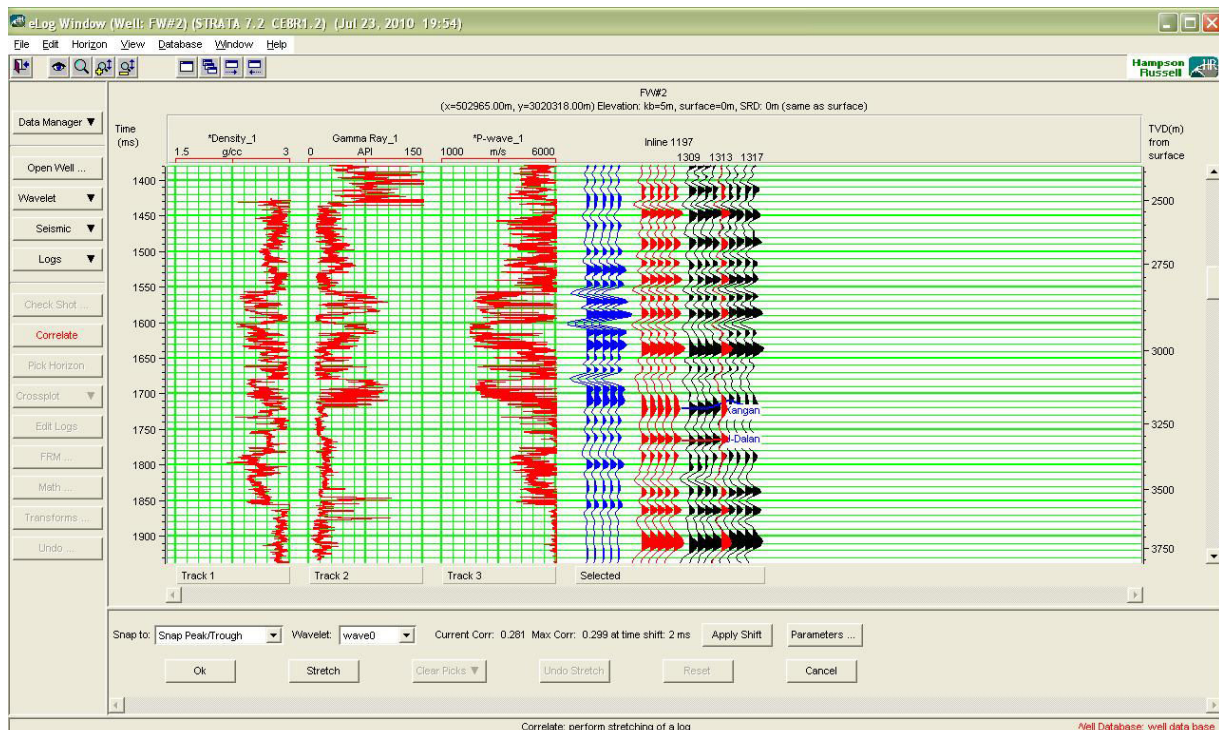
بعد از ساخت مدل اولیه، نوبت به وارون کردن حجم لرزه ای است. این امر در دو مرحله صورت می گیرد:

ابتدا آنالیزی در محل چاه برای بهینه سازی پارامترها اجرا می شود. سپس عملیات را روی کل حجم با

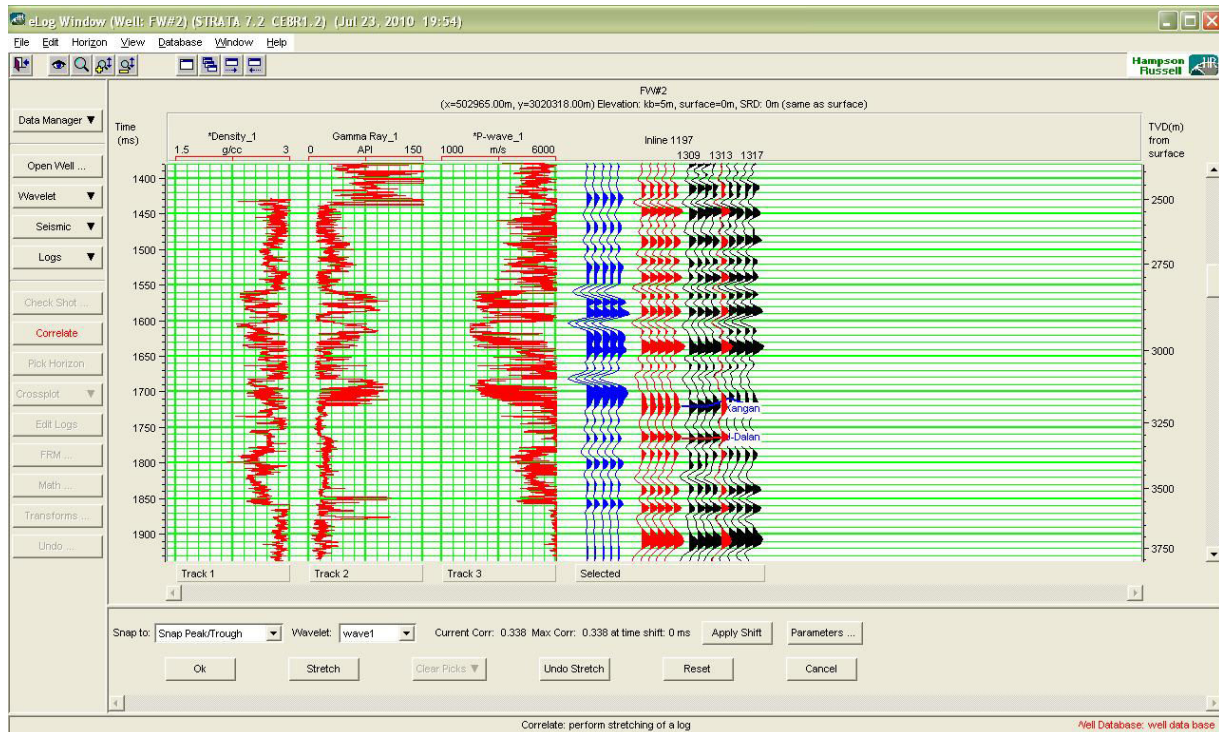
پارامترهای انتخابی مرحله اول اجرا می کنیم. مرحله اول بصورت شکل ۷ است که نتایج عملکرد وارون

سازی پایه مدل را در چاه ۲ نشان می دهد. در این شکل پنل سمت چپ، سه منحنی امپدانس را نشان می

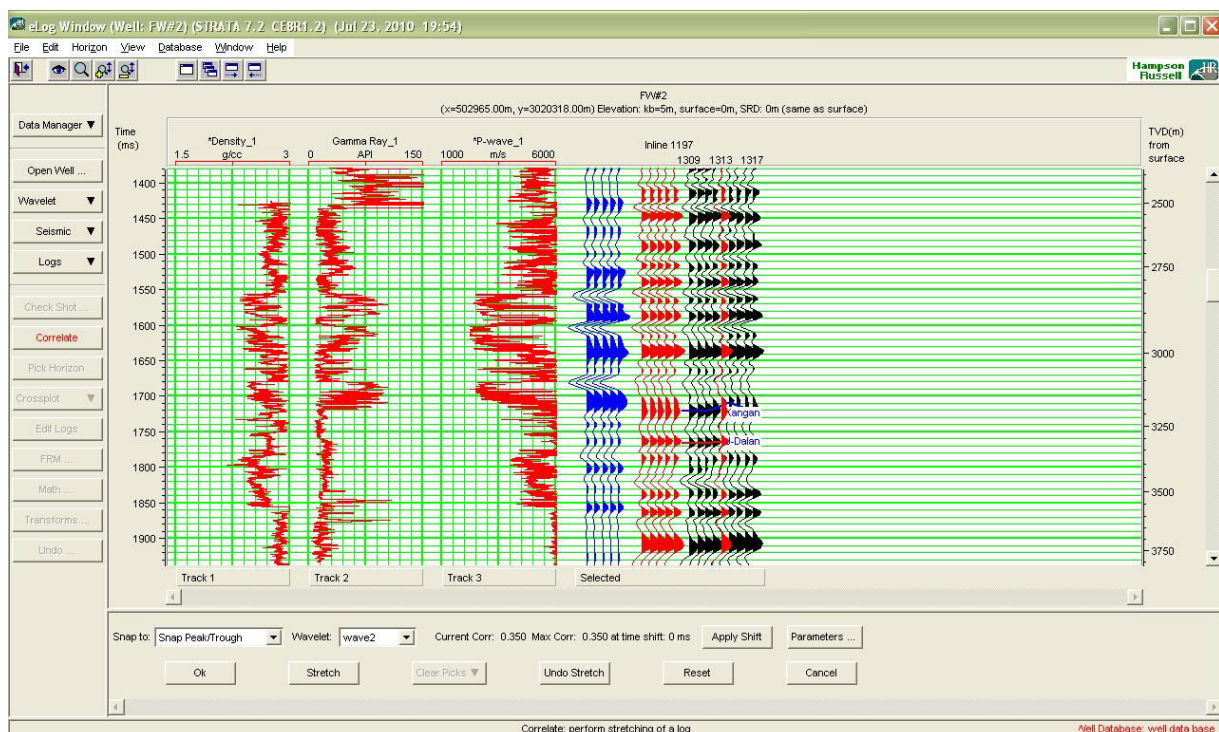
دهد. امپدانس اصلی به رنگ آبی، مدل حدس اولیه به رنگ سیاه و نتیجه وارون سازی نهایی به رنگ قرمز می باشد. پنل میانی، مقایسه بین تریسهای مصنوعی محاسبه شده از نتایج وارون سازی با تریس لرزه ای ورودی است که همبستگی آنها ۰.۹۹ می باشد. پنل سوم نشان دهنده خطا است که اختلاف بین دو مجموعه تریس قبلی است. مرحله دوم، وارون سازی کل حجم و دستیابی به مدل امپدانس صوتی نهایی است(شکل .۸).



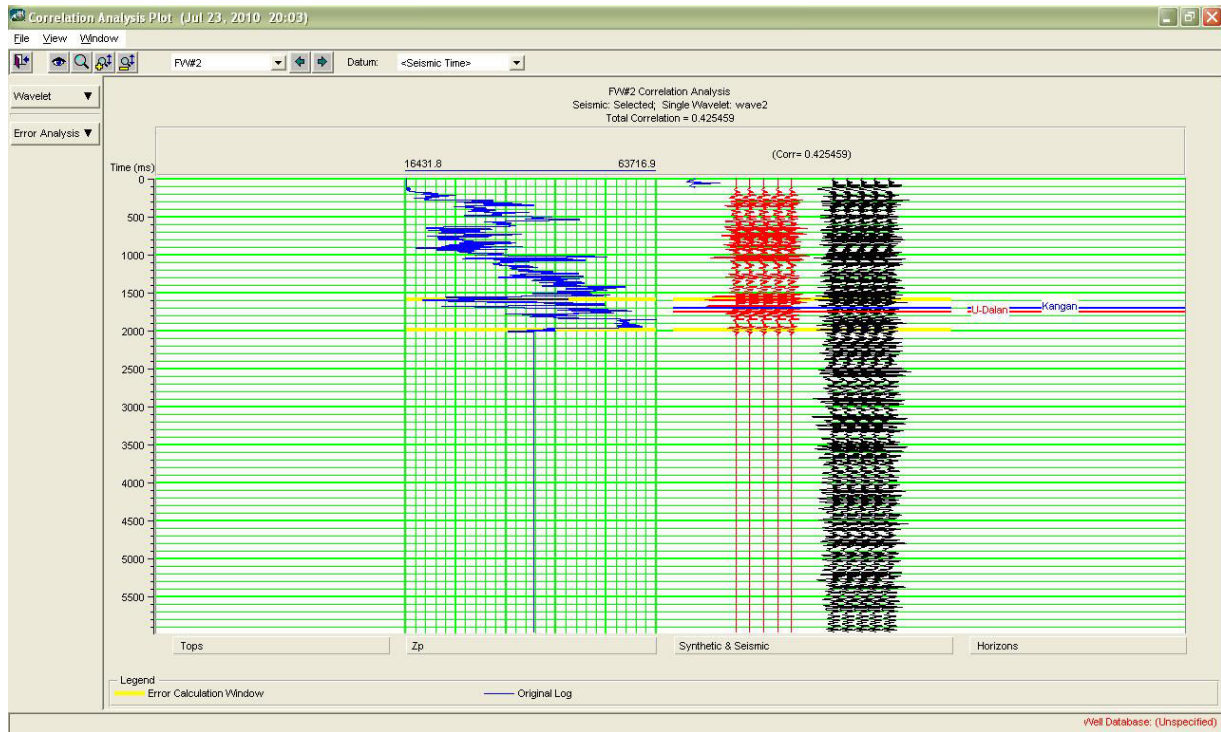
شکل ۲. همبستگی ابتدایی در چاه شماره ۲ بین تریس مصنوعی (آبی) و تریسهای میانگین اطراف چاه (قرمز) و تریس واقعی (سیاه).



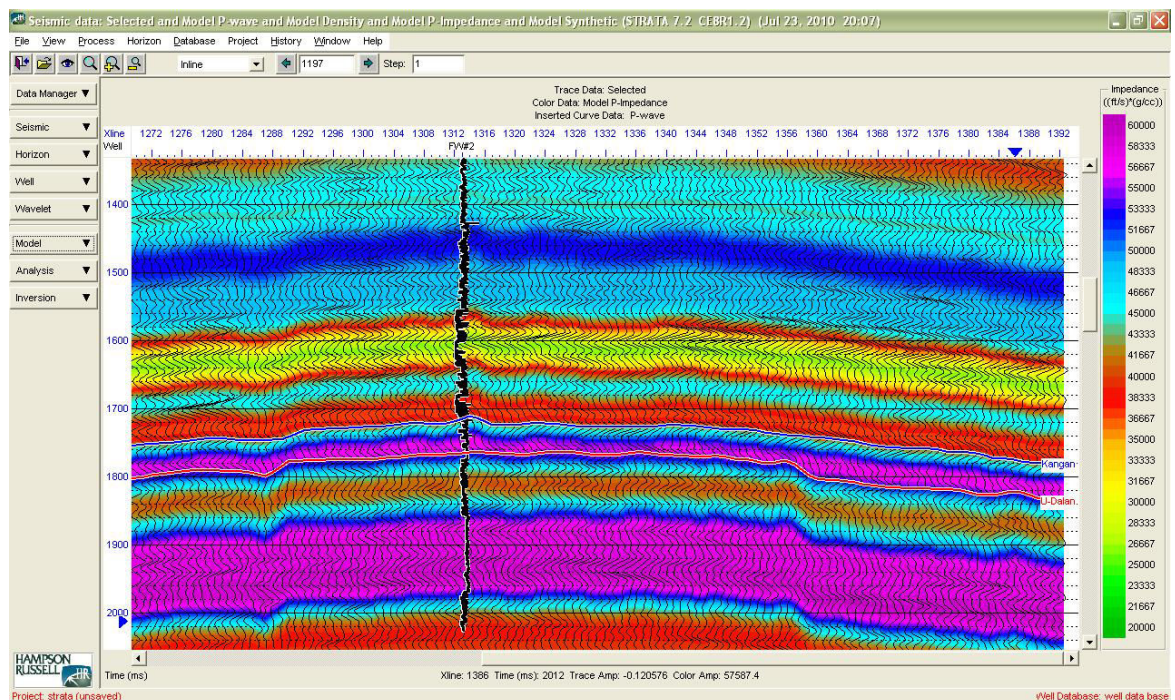
شکل ۳. همبستگی پس از استخراج موجک به صورت آماری که بهبود همبستگی را تا ۰.۳۸ نشان می دهد.



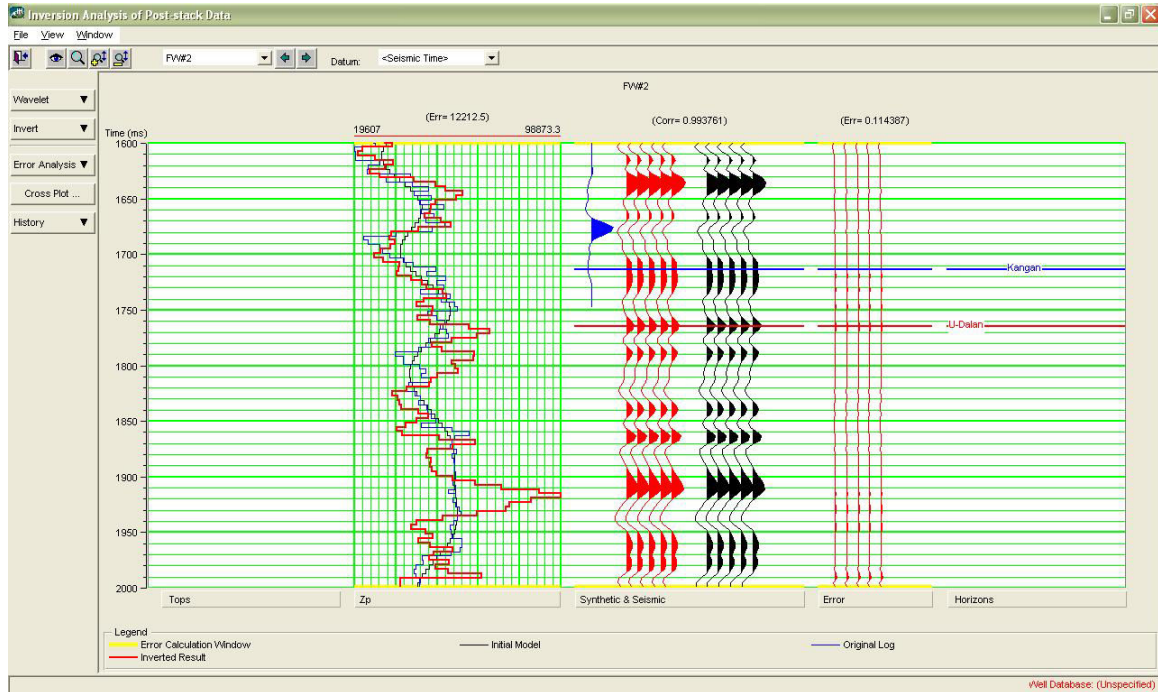
شکل ۴. همبستگی پس از استخراج موجک از چاه شماره ۲ که بهبود همبستگی را تا ۰.۳۵ به همراه دارد.



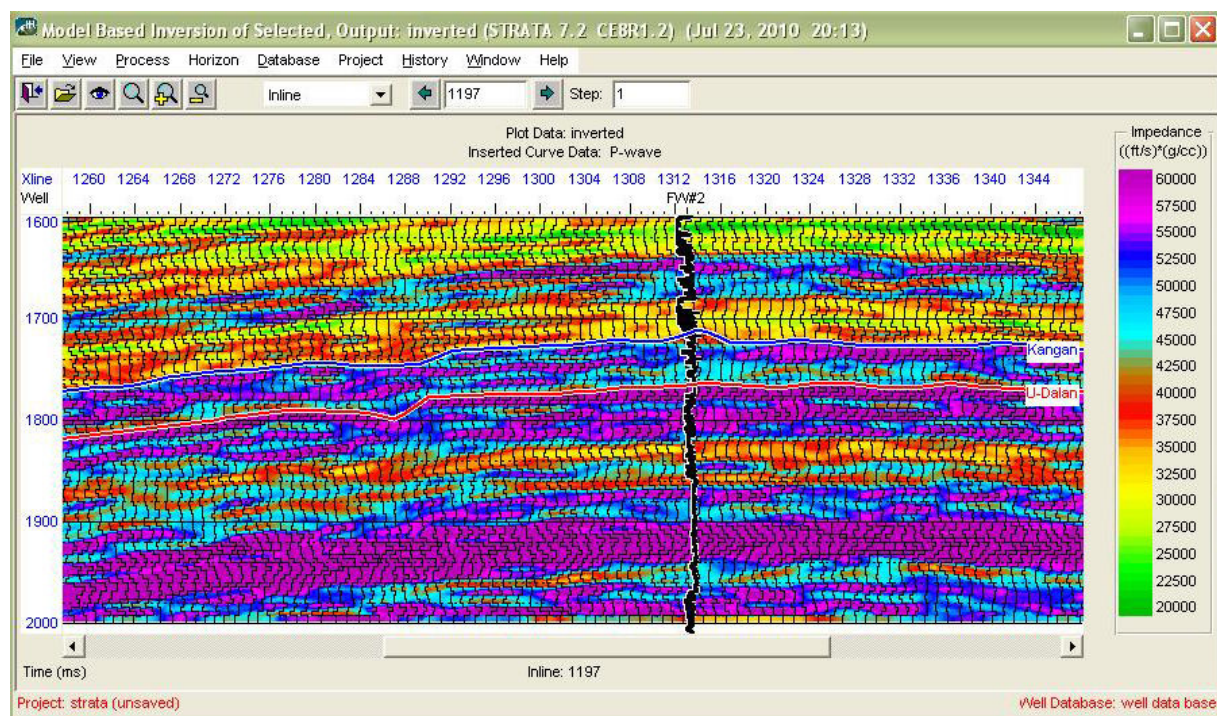
شکل ۵. آنالیز همبستگی در چاه شماره ۲ بین تریسهای مصنوعی (قرمز) و واقعی (سیاه). همبستگی کل ۰.۴۲۵۴۵۹ می باشد.



شکل ۶. مدل اولیه ساخته شده توسط نرم افزار



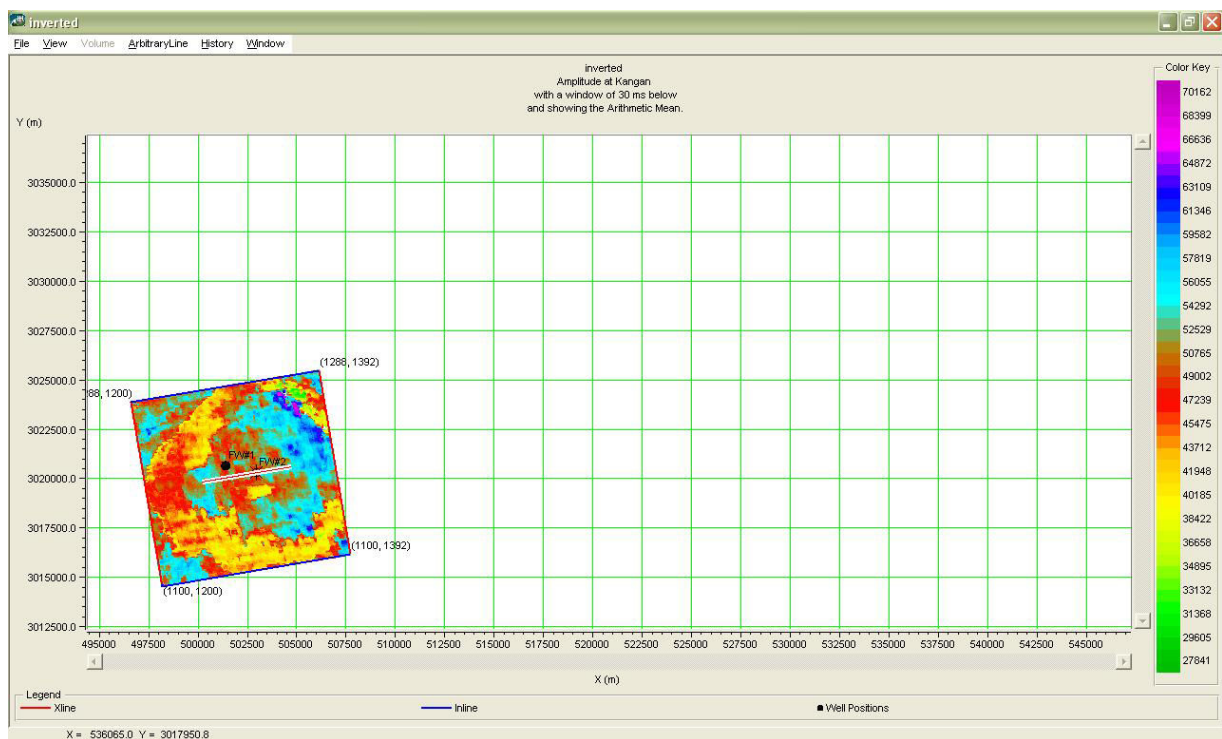
شکل ۷. آنالیز وارون سازی پایه مدل در چاه شماره ۲. پنل سمت چپ معرف منحنی های امپدانس اصلی (آبی)، مدل حدس اولیه (سیاه) و نتیجه وارون سازی نهایی (قرمز) است. پنل میانی، مقایسه بین تریسه های مصنوعی و واقعی است که همبستگی ۰.۹۹ را نشان می دهد. پنل سمت راست نشانده نهاد خطاست که اختلاف بین دو مجموعه تریس قبلی می باشد.



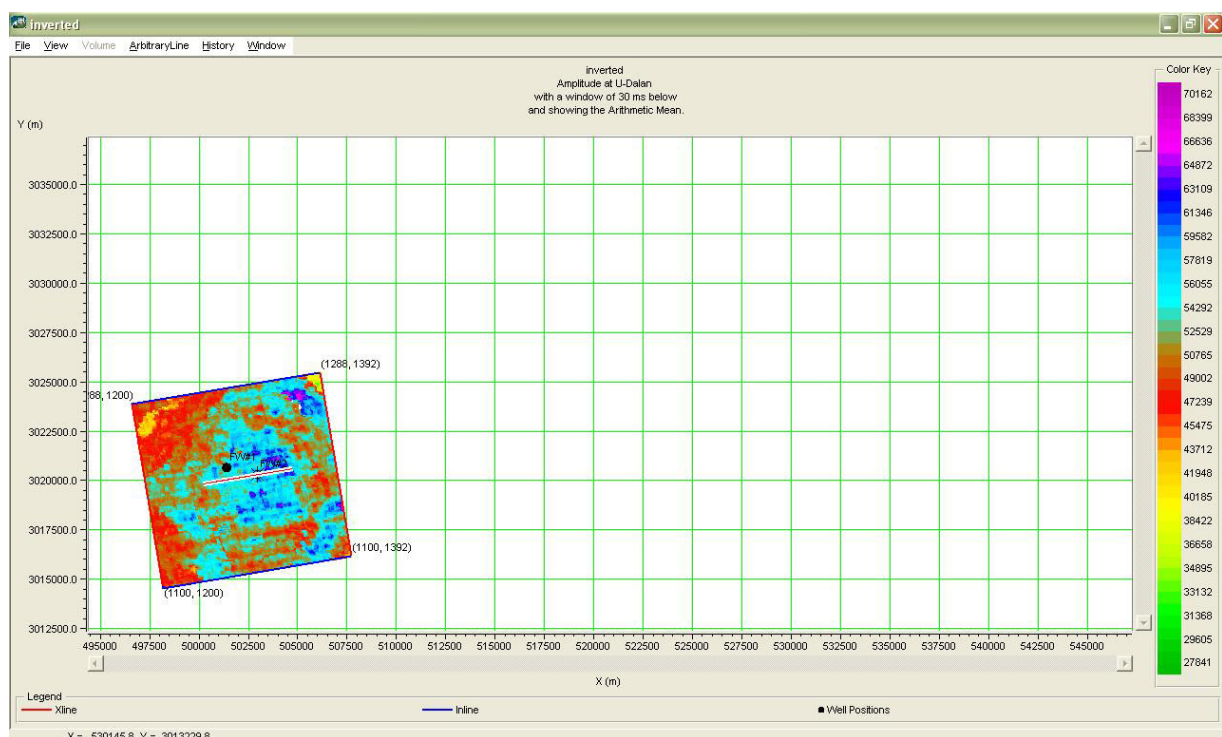
شکل ۸ مدل امپدانس صوتی نهایی

سرعت موج P به موج S را بر حسب امپدانس موج P به دست آورده و پوش حداقل مربعات آنها را روی مدل امپدانس صوتی نهایی اعمال می کنیم. نتیجه به صورت مدلهای مذکور است(اشکال ۱۱ تا ۱۳).

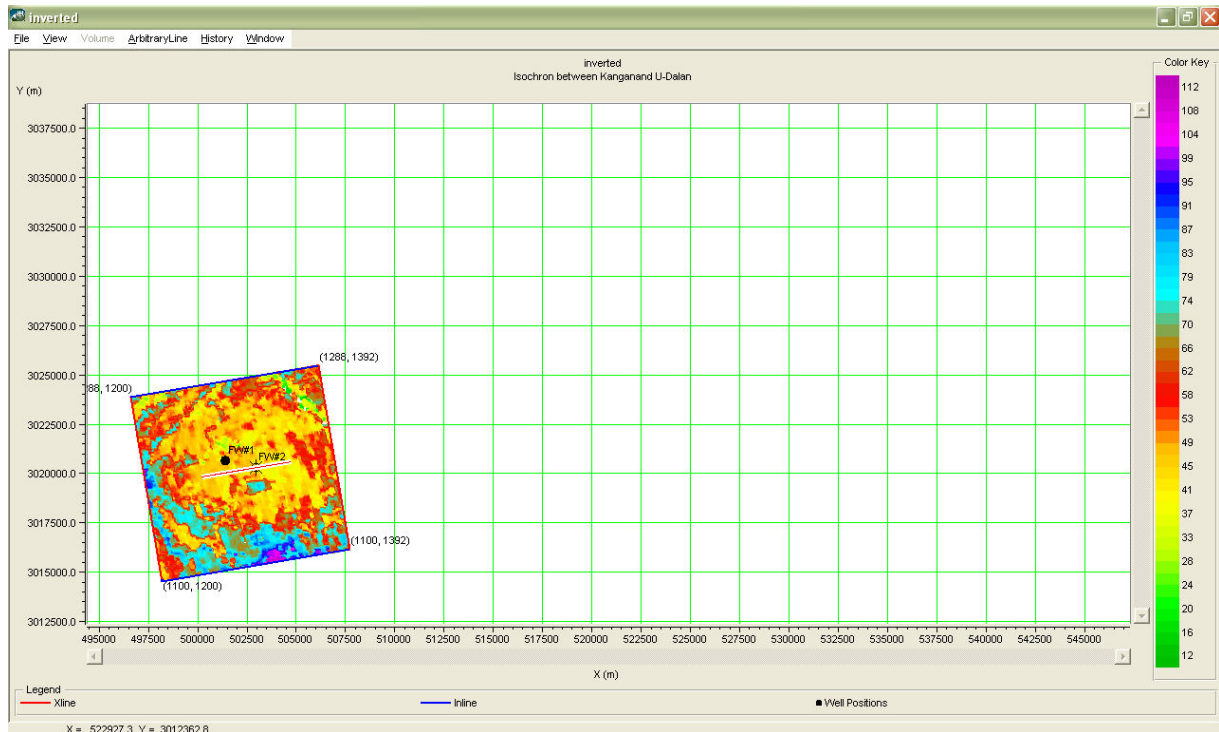
با استفاده از مدل امپدانس صوتی می توان به نقشه های دامنه لرزه ای وارون شده افقهای کنگان و دلان بالایی(شکل ۹) و نقشه هم ضخامت وارون شده بین افقهای مذکور (شکل ۱۰) دست یافت. برای دستیابی به مدلهای تخلخل، نسبت پواسون و نسبت سرعت موج P به موج S ، نگار تخلخل را از نگار چگالی، امپدانس موج P را از حاصلضرب موج P در چگالی، نسبت پواسون را از اشعه گاما و نسبت سرعت موج P به موج S را از منحنی های کمکی AVO به دست می آوریم. سپس نمودارهای تخلخل، نسبت پواسون و نسبت



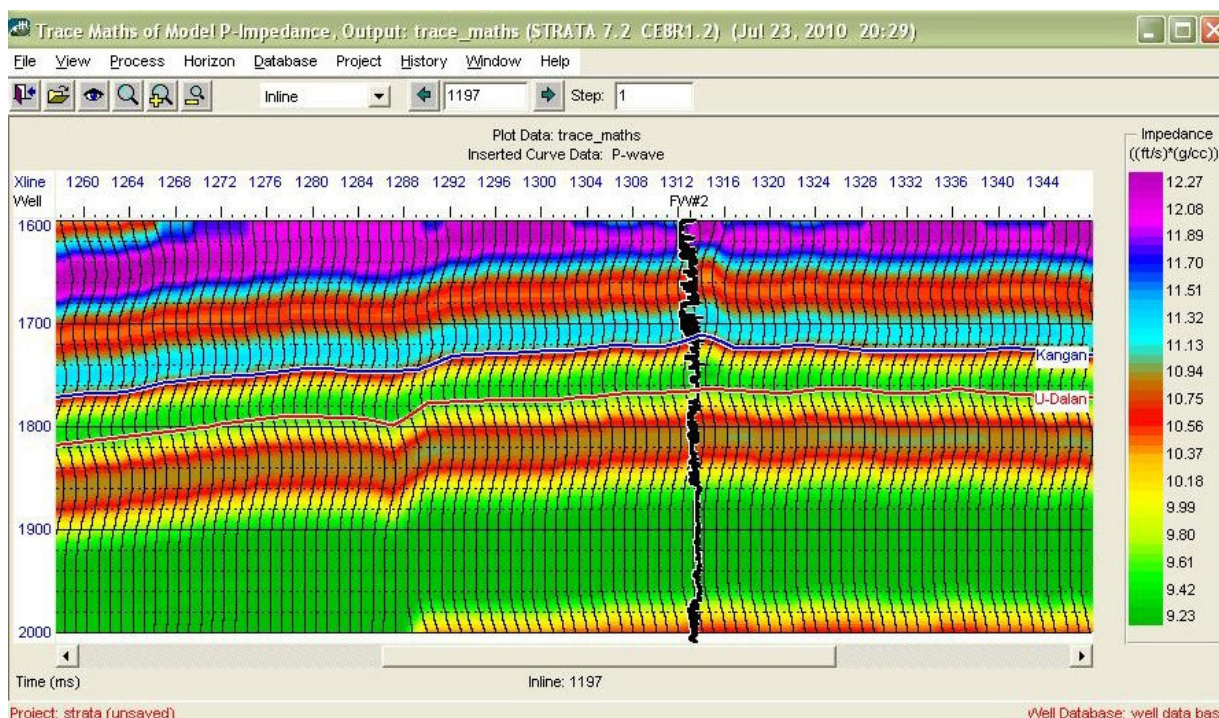
شکل ۹الف. دامنه لرزه ای وارون شده در افق کنگان



شکل ۹ب. دامنه لرزه ای وارون شده در افق دالان بالای

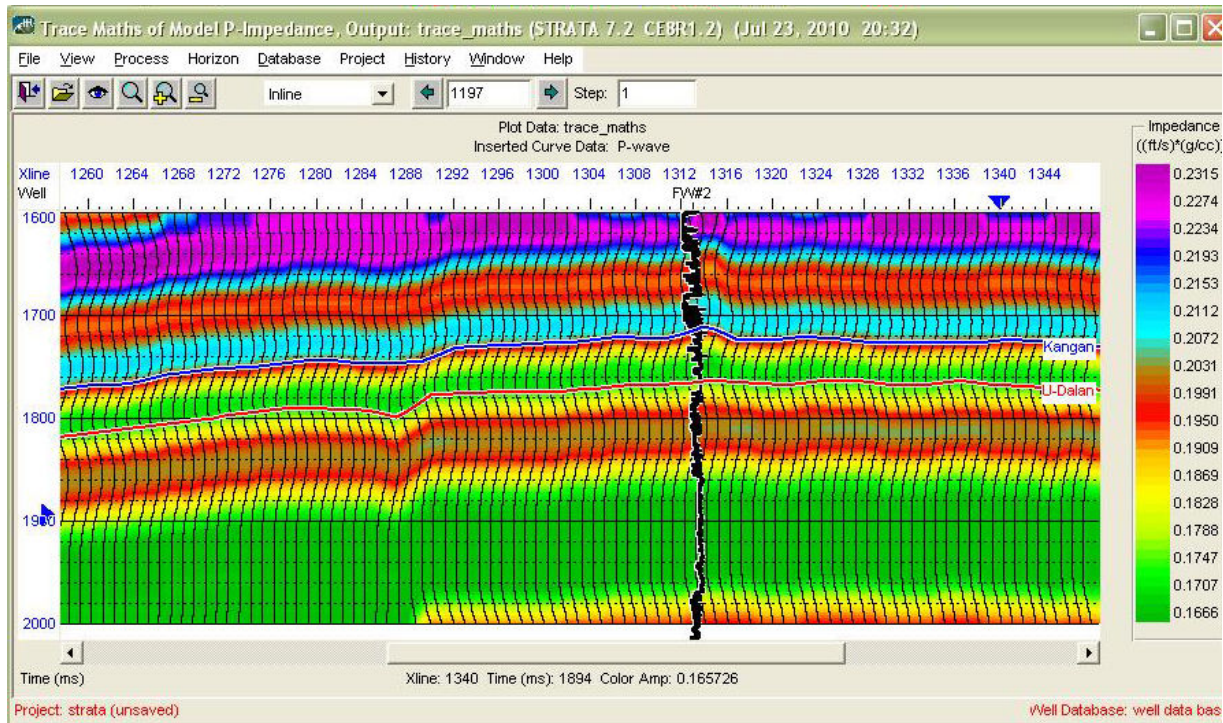


شکل ۱۰. نقشه هم ضخامت وارون شده بین افقهای کنگان و دلان بالایی

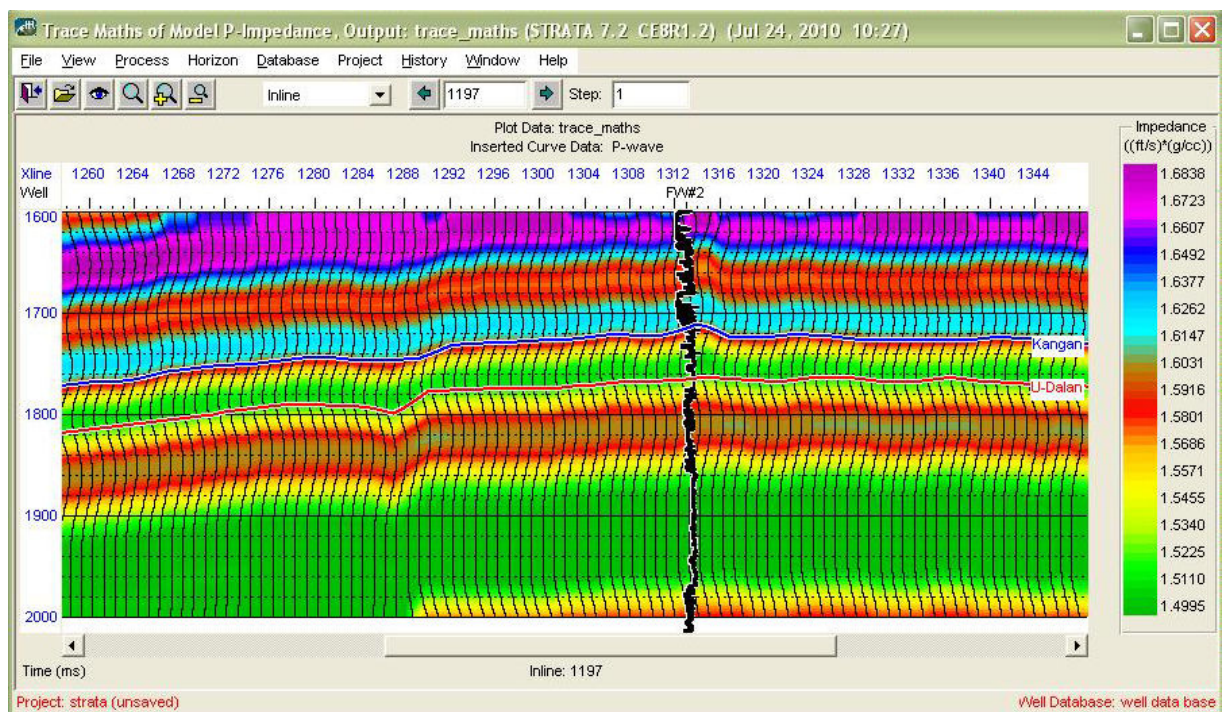


شکل ۱۱. مدل تخلخل

Archive of SID



شكل ۱۲. مدل نسبت پواسون



شكل ۱۳. مدل نسبت موج S به موج P

نتیجه گیری

با استفاده از وارون سازی داده های لرزه ای شبیه سه بعدی در میدان فردوسی به مدل امپدانس صوتی دست پیدا کردیم که با توجه به این مدل، نقشه های دامنه لرزه ای وارون شده و نقشه هم ضخامت در افقهای کنگان و دالان حاصل شدند.

همچنین مدلهای تخلخل، نسبت پواسون و نسبت سرعت موج P به موج S بدست آمدند.

با استفاده از مدل تخلخل در هر نقطه می توان مقادیر پیچش و فاکتور سازند را محاسبه کردو با داشتن تقریبی از تراوایی، فاکتورهای سرشت نمایی واحد جریان محاسبه می شوند.

قدرتانی

با سپاس فراوان از جناب آقای مهندس سیاوش نوروزی که مساعدت ایشان در انجام این مطالعه بسیار موثر بود.

منابع

- Engelmark, F., 2005, "Binary decomposition of three-term seismic inversion data to estimate recoverable hydrocarbon volumes", SPE 93464.
- Hampson, D.P., Russell, B.H., and Bankhead, B., 2005, "Simultaneous inversion of pre-stack seismic data", Ann. Mtg. Abstracts, SEG, 1633-1637.
- Hampson, D. and Russell, B.H., 1992, "Amplitude versus offset analysis, modeling, and inversion", AVO software documentation, Hampson-Russell Software Services Ltd.
- Marzuki, Z.B., 2000, "Improving the static model of a complex reservoir through the inversion of seismic data", SPE 64740.
- Stewart, R.R., 1991, "Rapid map and inversion of P-SV seismic waves", Geophysics, 56, 859-862.